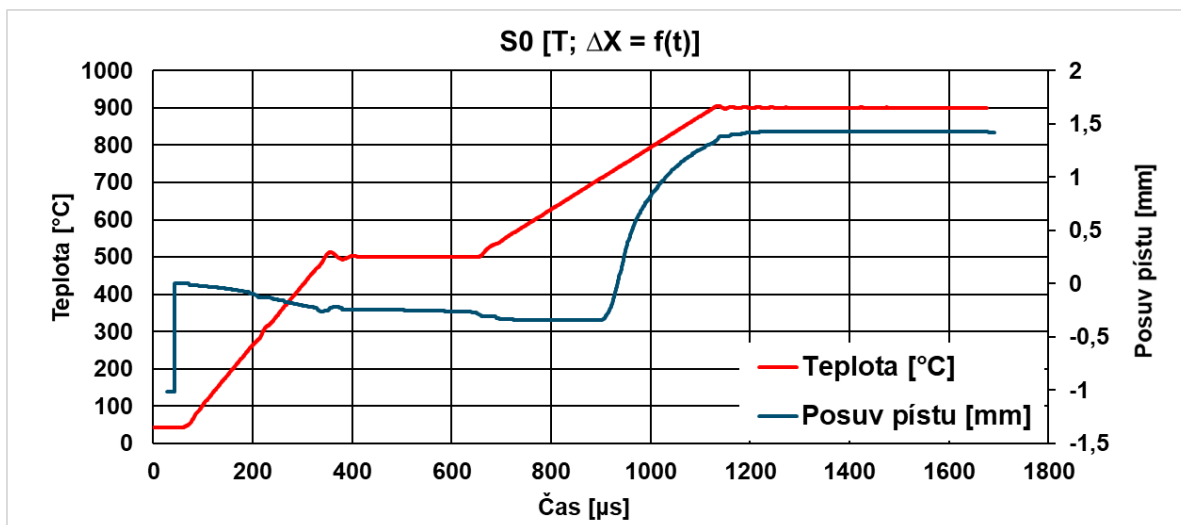
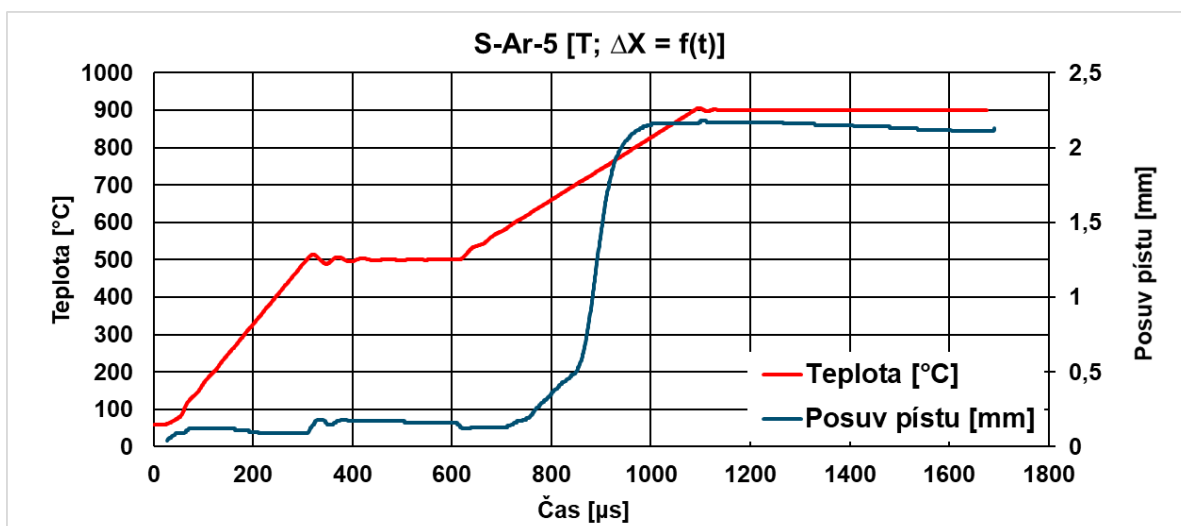


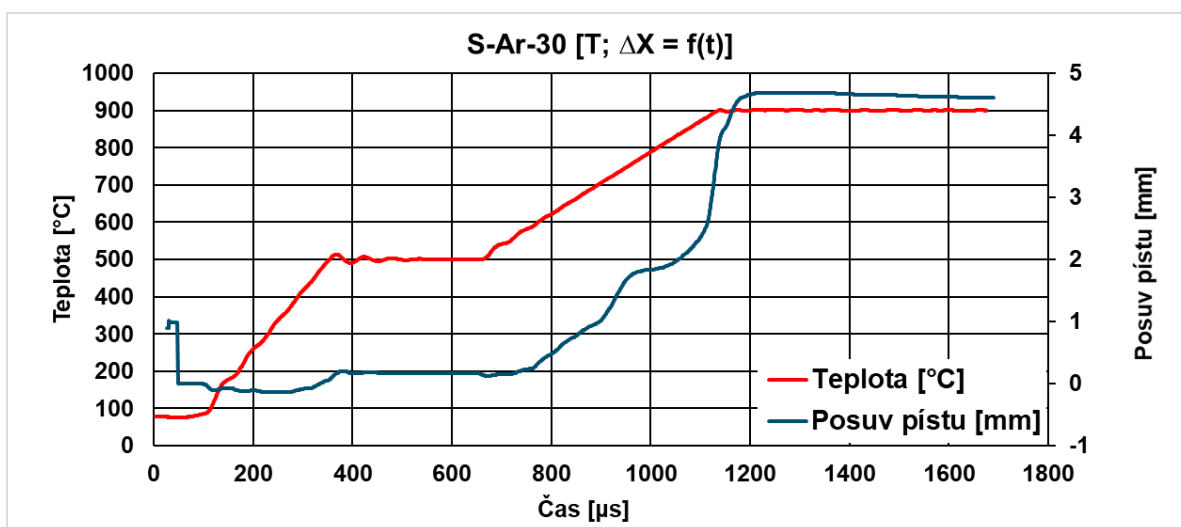
# Příloha A



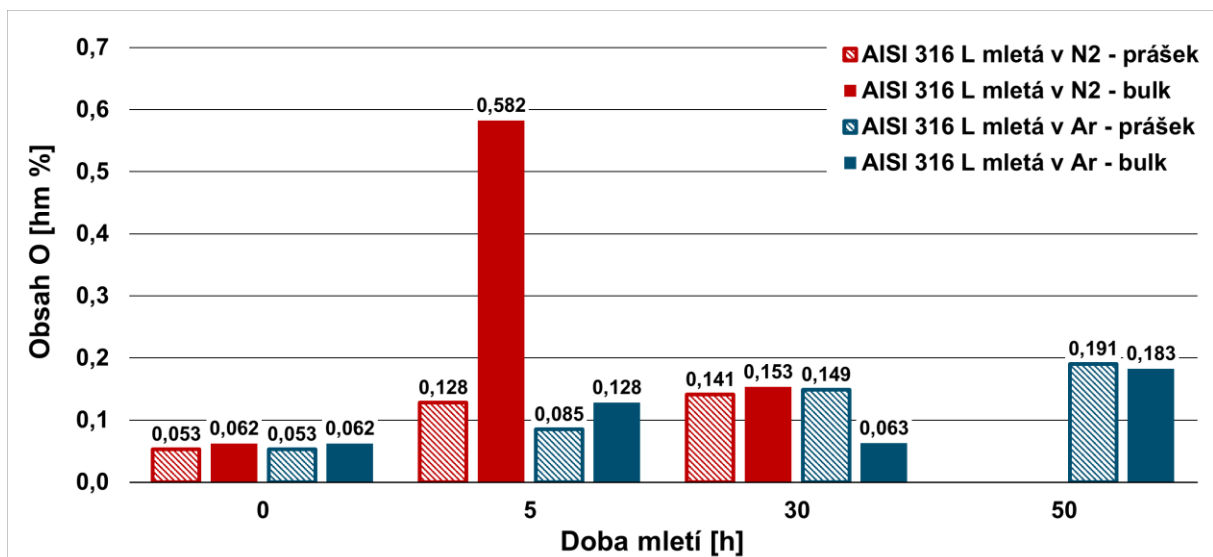
Obr. 14.1: Záznam z SPS vzorku S0 (nemletá ocel AISI 316 L)



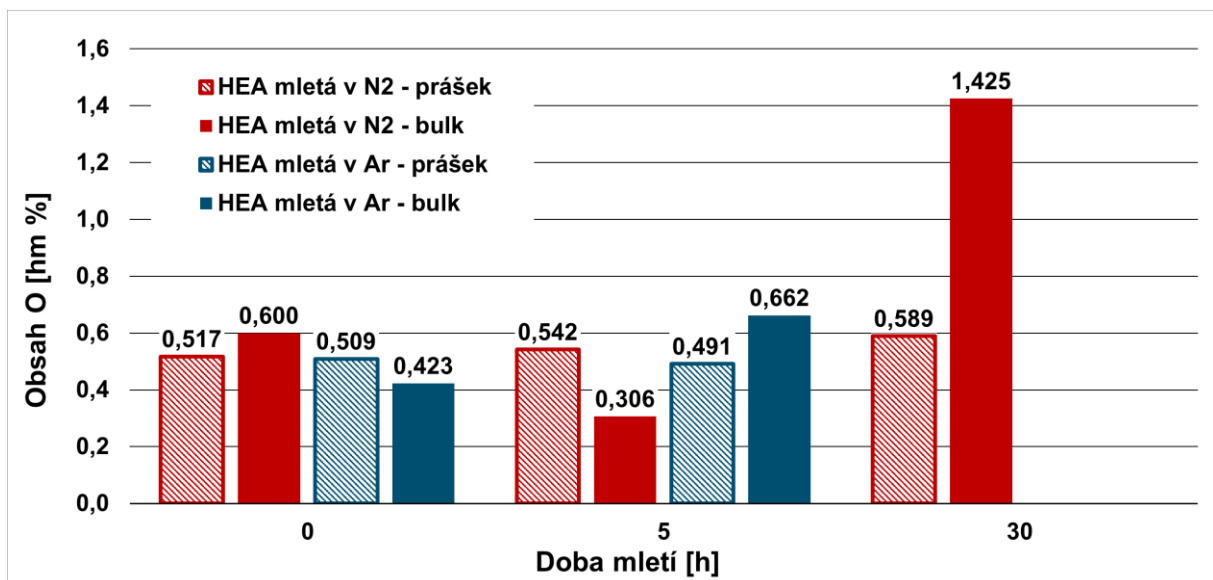
Obr. 14.2: Záznam z SPS vzorku S-Ar-5 (ocel AISI 316 L mletá 5 h v Ar)



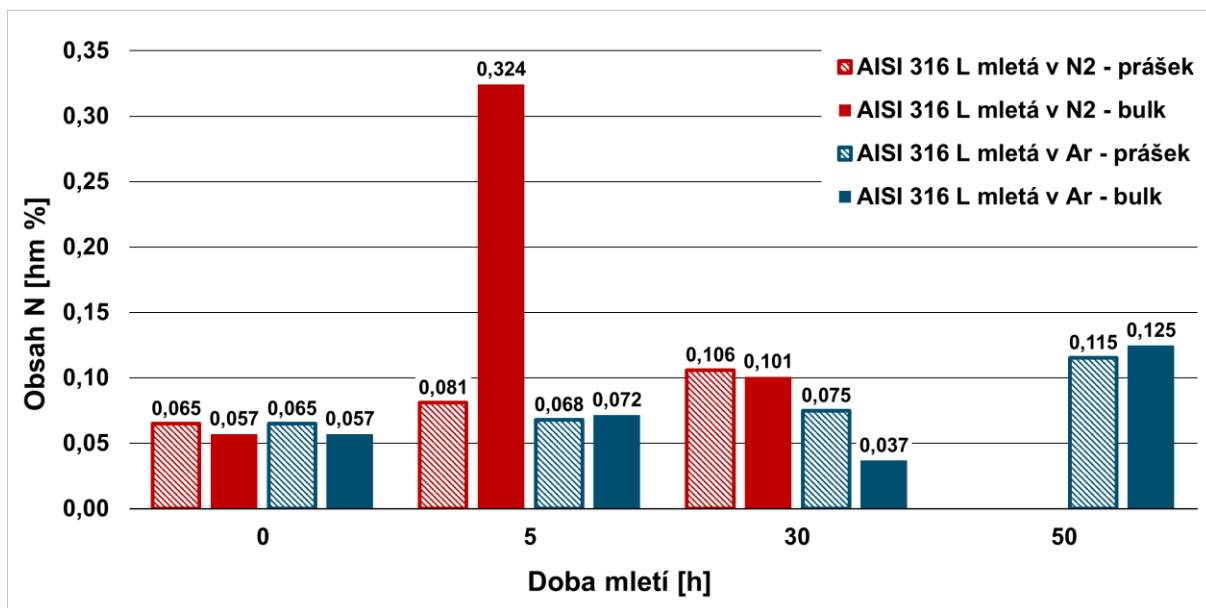
Obr. 14.3: Záznam z SPS vzorku S-Ar-30 (ocel AISI 316 L mletá 30 h v Ar)



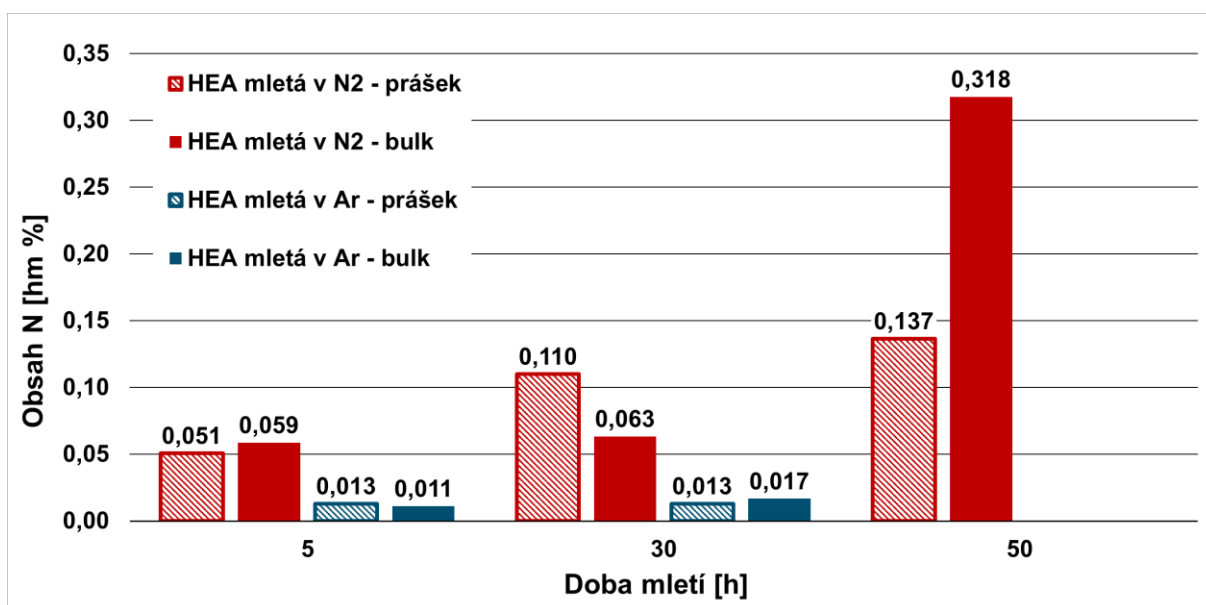
Obr. 14.4: Obsahy kyslíku naměřené u vzorků CoCrFeNi HEA v práškové formě (vyšrafované) a po jejich slinutí (plnou barvou)



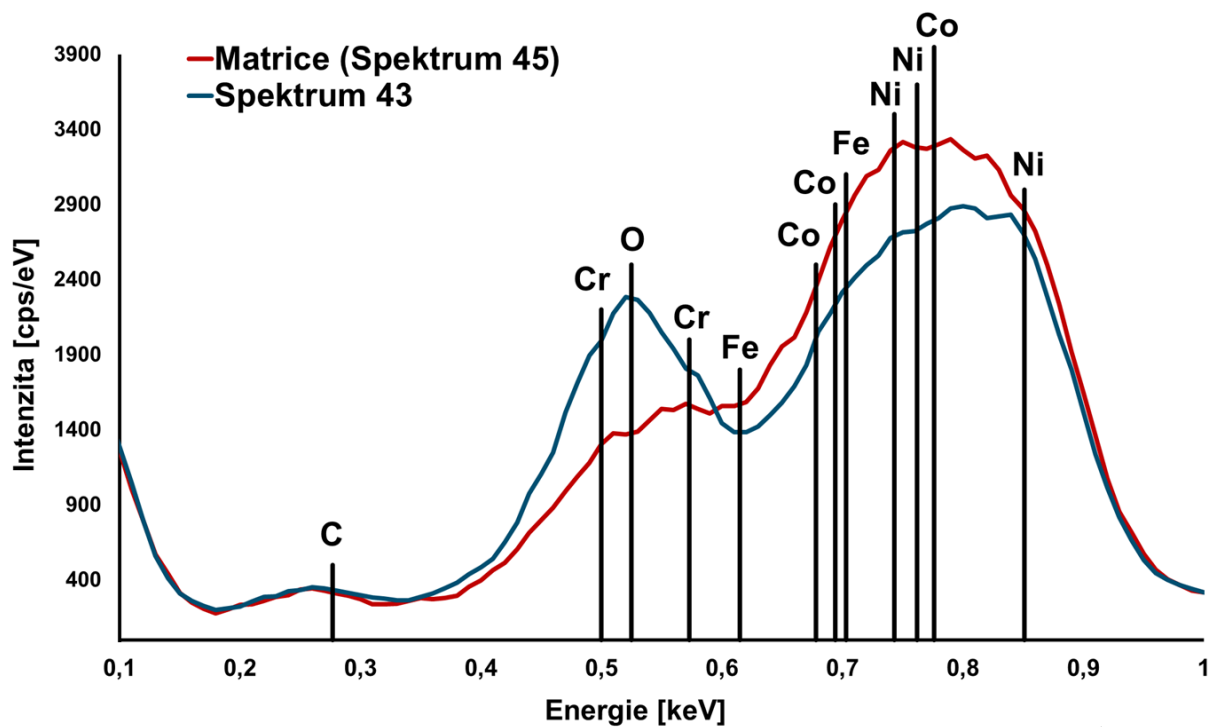
Obr. 14.5: Obsahy kyslíku naměřené u vzorků CoCrFeNi HEA v práškové formě (vyšrafované) a po jejich slinutí (plnou barvou)



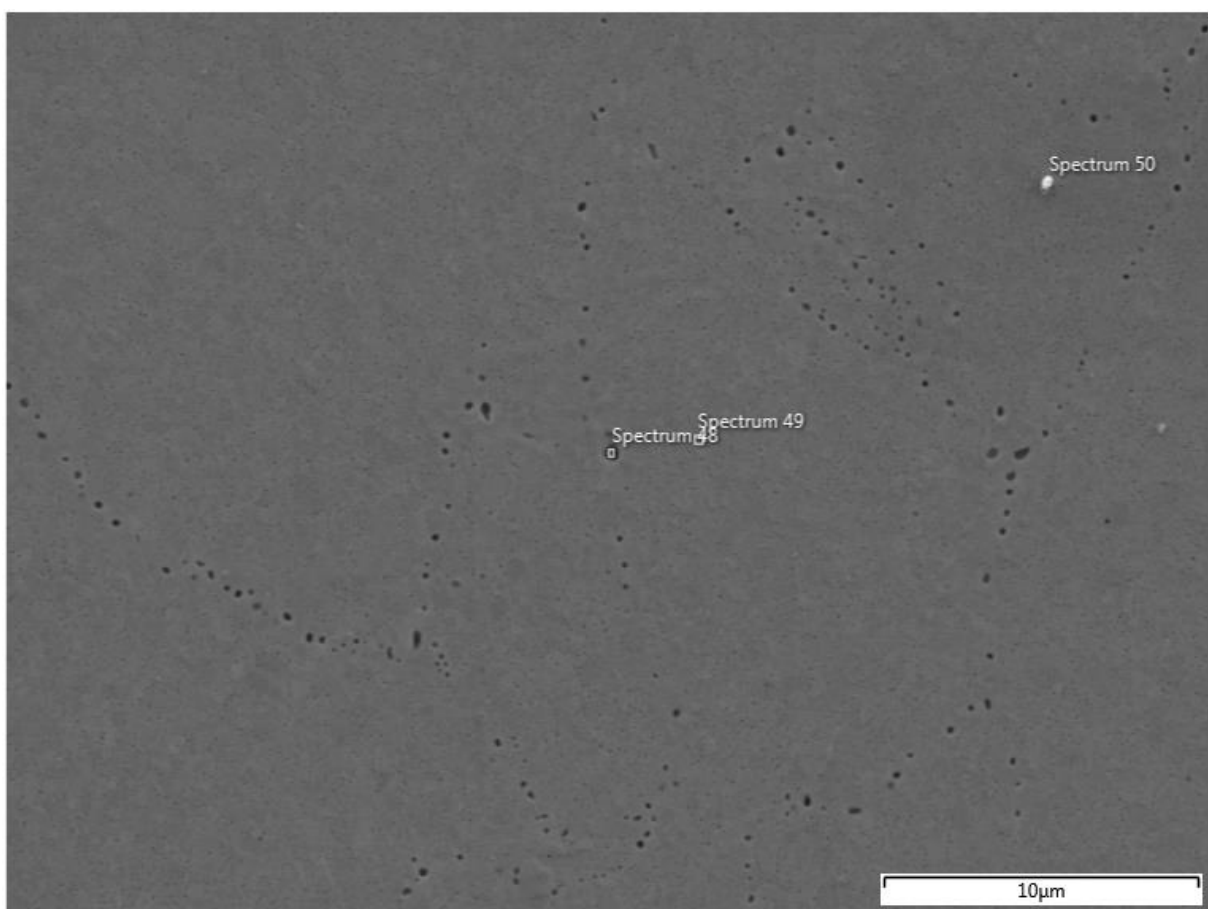
Obr. 14.6: Obsahy dusíku naměřené u vzorků AISI 316 L v práškové formě (vyšrafované) a po jejich slinutí (plnou barvou).



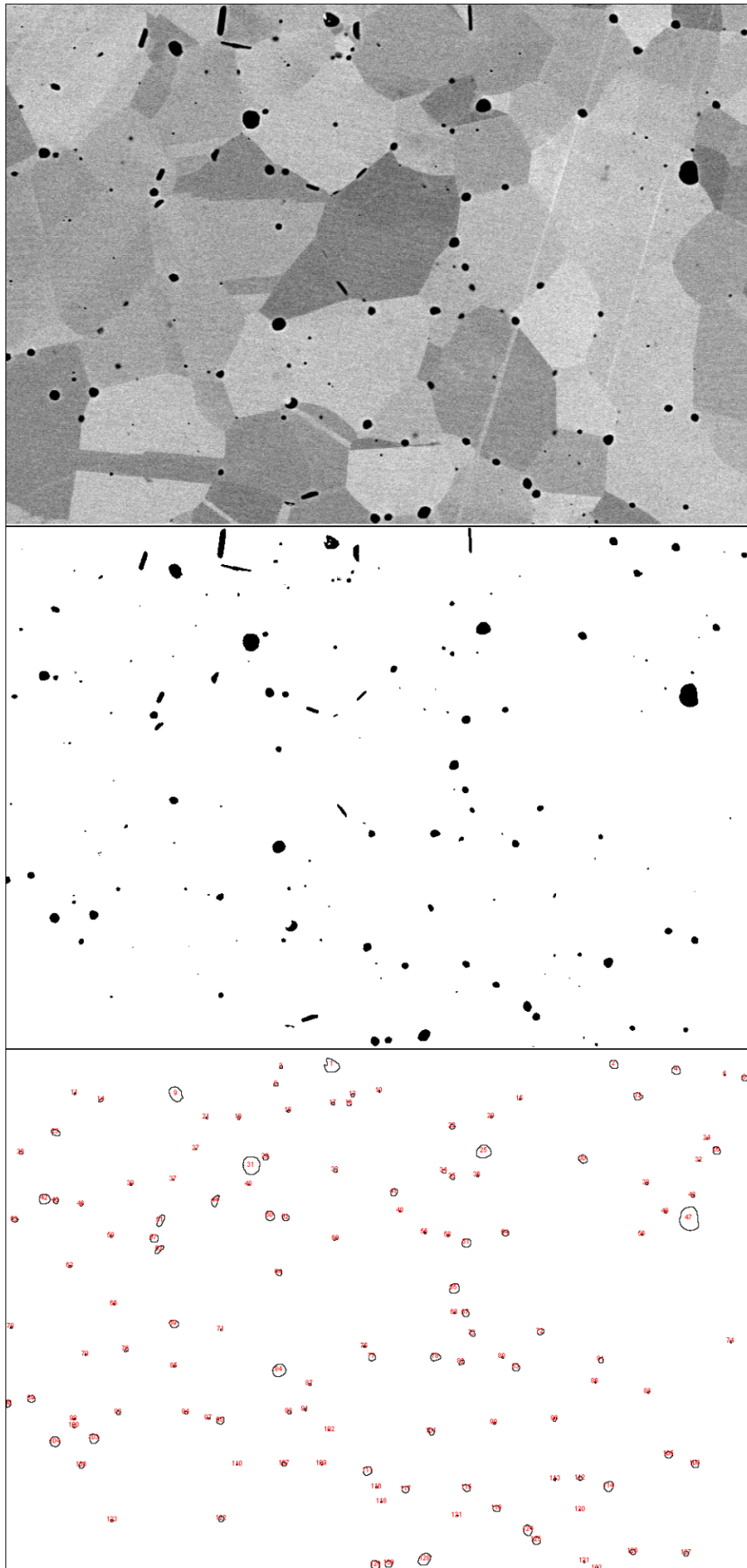
Obr. 14.7: Porovnání obsahů dusíku naměřených u ekvivalentních vzorků HEA v práškové formě (vyšrafované) a po jejich slinutí (plnou barvou)



Obr. 14.8: Detail EDS spekter matrice a částice pozorované ve struktuře slinutého vzorku HEA-N-5 (viz Obr. 11.12)



Obr. 14.9: Struktura vzorku S-Ar-50 s oxidickou částicí měřenou pomocí EDS



Obr. 14.10: Ukázka postupu obrazové analýzy SEM snímků pomocí software ImageJ za účelem stanovení velikosti oxidických částic